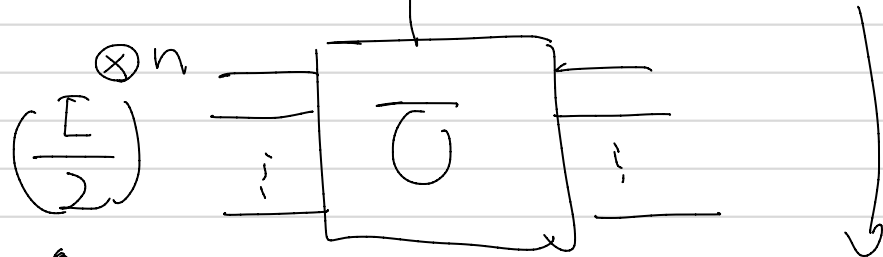
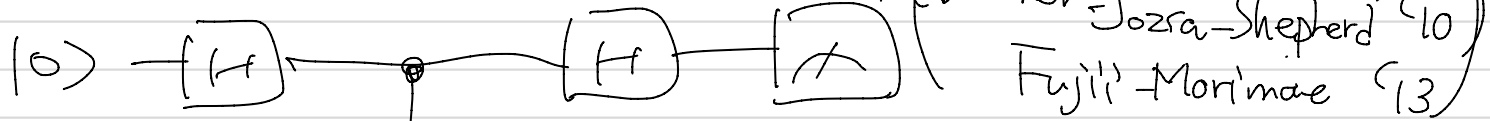


量子スプレッド (≠ 2=バニール) (Boson Sampling (Aaronson - Arkhipov))

Hadamard test.



↑
完全混合状態

$$P_0 = \frac{1 + \text{ReTr}[U/2^n]}{2}$$

DQC1 (one-clean qubit model)

Kaill-Lafamme. PRL '98

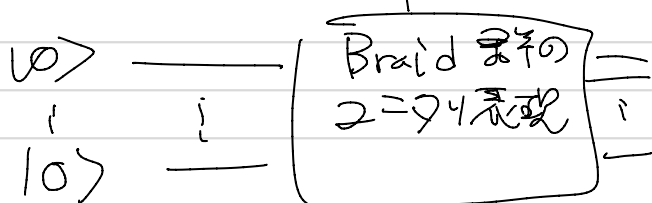
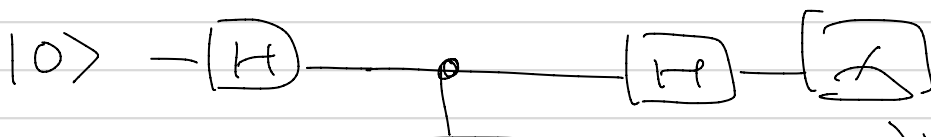
Jones 2-qubit の 3-qubit

Shor-Jordan Quantum Info. & Comp.

Hardness の 証明 '08.

Morimae-Fujii-Fitzsimons PRL '14

Fujii et al ICALP '16 (arXiv '15)



↓ Jones
2-qubit

Aharonov et al arXiv '05

$$\frac{1}{2}(\mathbf{I} + \sigma) = \sum_i (1 + e^{2\pi i \lambda_i}) |\lambda_i\rangle\langle\lambda_i|$$

$$\frac{1}{2}(\mathbf{I} - \sigma) = \sum_i (1 - e^{2\pi i \lambda_i}) |\lambda_i\rangle\langle\lambda_i|$$

$$\rho \xrightarrow{\mathcal{E}} \frac{1}{4}(\mathbf{I} + \sigma)\rho(\mathbf{I} + \sigma)^\dagger + \frac{1}{4}(\mathbf{I} - \sigma)\rho(\mathbf{I} - \sigma)^\dagger$$

$$\rho_{\text{fix}} = \sum_{ij} C_{ij} |\lambda_i\rangle\langle\lambda_j|$$

$$\mathcal{E}(\rho_{\text{fix}}) = \frac{1}{4} C_{ij} \left\{ (1 + e^{2\pi i \lambda_i})(1 + e^{-2\pi i \lambda_j}) + (1 - e^{2\pi i \lambda_i})(1 - e^{-2\pi i \lambda_j}) \right\}$$

$$\mathcal{E}(\rho_{\text{fix}}) = \rho_{\text{fix}} \mathcal{E}(1).$$

$$C_{ij} = \frac{1}{2} C_{ij} (1 + e^{2\pi i (\lambda_i - \lambda_j)})$$

$i \neq j$ ならば $e^{2\pi i (\lambda_i - \lambda_j)} \neq 1$ である。

$C_{ij} \neq 0$ ならば $i = j$ 。

ρ_{fix} は $|\lambda_i\rangle\langle\lambda_i|$ の重ね合わせ。

→ Hadamard test $e^{2\pi i \lambda_i}$

基底 $|\lambda_i\rangle\langle\lambda_i|$ の \mathcal{E} での作用を
 検証可能。

Part 2 量子誤り訂正.

○ 一般の量子操作.

$$\rho \rightarrow \rho' = \mathcal{E}(\rho)$$

↑
密性行列への写像.

= CPTP 写像

completely positive

trace preserving.

① positive

$$\rho' = \mathcal{E}(\rho) \geq 0$$

② completeness

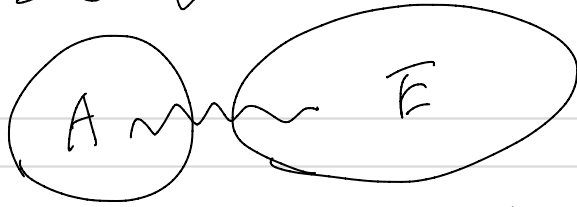
$$\sum_A \otimes \int_B (\rho_{AB}) \geq 0$$

③ $\text{Tr}(\mathcal{E}(\rho)) = 1.$

CPTP \Leftrightarrow Kraus 表現

$$\mathcal{E}(\rho) = \sum_k K_k \rho K_k^\dagger.$$

0 \vec{T} コヒーレンス



量子系 環境系 (外場の光子, 基底物 etc.)

(例)

$$(\alpha|0\rangle + \beta|1\rangle) \otimes |+\rangle$$

$$\left\{ e^{\frac{-i\theta Z \otimes Z}{2}} = \cos\frac{\theta}{2} I + i\sin\frac{\theta}{2} Z \otimes Z \right.$$

$$\rho_{AE} = e^{\frac{-i\theta}{2}} \frac{\alpha|00\rangle + \beta|11\rangle}{\sqrt{2}} + e^{\frac{i\theta}{2}} \frac{\alpha|01\rangle + \beta|10\rangle}{\sqrt{2}}$$

インタクションあり

環境のことは何も知らず $\rho_A \rightarrow$ reduced density matrix

$$\rho_A = |\alpha|^2 |0\rangle\langle 0| + \cos\theta (\alpha\beta^* |0\rangle\langle 1| + \alpha^*\beta |1\rangle\langle 0|) + |\beta|^2 |1\rangle\langle 1|$$

\rightarrow 対角項が小さくなる, $(0 \leq \theta \leq \frac{\pi}{2})$

$$\mathcal{E}(\rho) = \frac{1+\cos\theta}{2} \rho + \frac{1-\cos\theta}{2} Z \rho Z$$

確率 $\frac{1-\cos\theta}{2}$ で Z が作用する

量子 / 2^n

CPTP写像,
$$\mathcal{E}(\rho) = \sum_k E_k \rho E_k^\dagger$$

Kraus 操作子

$$\left(\sum_k E_k^\dagger E_k = I \leftarrow \text{Tr}[\mathcal{E}(\rho)] = \text{Tr}[E_k^\dagger E_k \rho] \right)$$

例) $|0\rangle \rightarrow$ 確率 p で X 作用.

$$(1-p)|0\rangle\langle 0| + p|1\rangle\langle 1|$$

$$\mathcal{E}_X(\rho) = (1-p)\rho + pX\rho X$$

位相反転 [X]

$$\mathcal{E}_Z(\rho) = (1-p)\rho + pZ\rho Z$$

位相反転 [Z]

$$\mathcal{E}_{in}(\rho) = (1-p)\rho + p|0\rangle\langle 1|\rho|1\rangle\langle 0|$$

$$+ p|0\rangle\langle 0|\rho|0\rangle\langle 0|$$

確率的な 1/2 変換.

$$\alpha |0\rangle + \beta |1\rangle$$

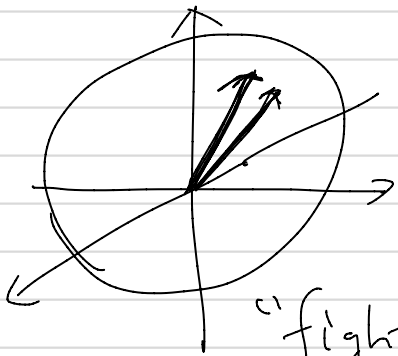
$$\rightarrow |\alpha|^2 |0\rangle\langle 0| + \cos\theta \left(\alpha^* \beta |0\rangle\langle 1| + \alpha \beta^* |1\rangle\langle 0| \right) + |\beta|^2 |1\rangle\langle 1|$$

$$\theta = \frac{\pi}{2} \quad |\alpha|^2 |0\rangle\langle 0| + |\beta|^2 |1\rangle\langle 1|$$

$$\rho = \frac{1+\cos\theta}{2} \rho + \frac{1-\cos\theta}{2} \sigma_z \rho \sigma_z$$

取 $\frac{1-\cos\theta}{2} \sigma_z$ 的作用可予,

① 量子誤り訂正 (Shor)



• エラーは連続的

• 量子状態のコピーはできない

"fight entanglement with entanglement" by Preskill

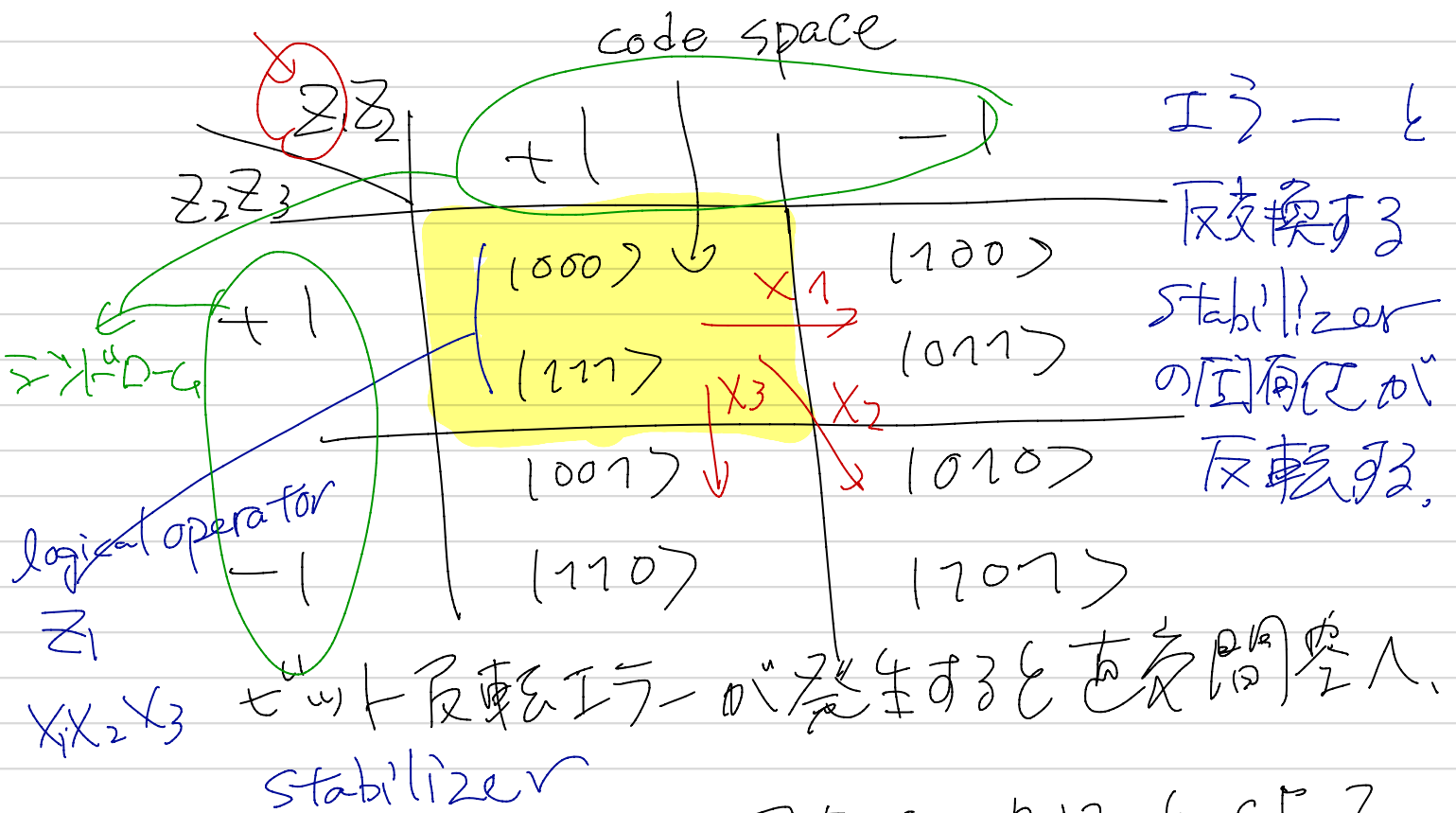
$$\alpha|0\rangle + \beta|1\rangle \rightarrow \alpha|1000\rangle + \beta|1111\rangle$$

$$A_k = I \otimes I \otimes \dots \otimes A \otimes \dots \otimes I$$

k番目

$|1000\rangle, |1111\rangle$ を基底とする

2次元部分空間 (空間) に閉じ込める



ビット反転エラーが発生すると空間内、stabilizer

$Z_1, Z_2, Z_2 Z_3$ の固有値を測るとにより、量子状態を壊さずにエラーを知る。

□ ステートライク形式 (Gottesman '97)

ステートライク群 \mathcal{S}

- $S_i \in \mathcal{S}$ はパウリ積, $\mathcal{S} \subset \{\pm I, \pm iI\} \times \{I, X, Y, Z\}^{\otimes n}$
- $\forall S_i, S_j \in \mathcal{S}, [S_i, S_j] = 0$. $aI \notin \mathcal{S}$.
- $-I \notin \mathcal{S}$ (固有値は ± 1).

ステートライク状態

$$S_i |\Psi\rangle = |\Psi\rangle \quad \text{for all } i.$$

Σ 固有状態 $|\Psi\rangle$

(例) $\{I, X_1 X_2, Z_1 Z_2, -Y_1 Y_2\} = \langle \{X_1 X_2, Z_1 Z_2\} \rangle$
生成元.

$$\rightarrow (|00\rangle + |11\rangle) / \sqrt{2}$$

5 qubit code.

可換なパリティ演算子の
固有状態として状態定義

$$S_1 = Z X X Z I$$

$$S_2 = I Z X X Z$$

$$S_3 = Z I Z X X$$

$$S_4 = X Z I Z X$$

$$S_i |\Psi\rangle = |\Psi\rangle \text{ for all } i$$

また、2次元の縮退が残る。

$$2^5 / 2^4 = 2 = \text{次元の部分空間}$$

→ logical operator
(縮退を2倍にする)

$$L^Z = Z Z Z Z Z$$

$$L^X = X X X X X$$

ともに $S_1 \sim S_4$ と可換。

$$\rightarrow S_i (L^X |\Psi\rangle) = (L^X |\Psi\rangle)$$

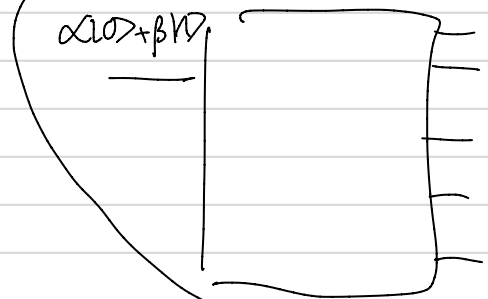
↓
= 異なる subspace \wedge .

$S_1 \sim S_4$ と独立。

$$L_Z |\bar{0}\rangle = |\bar{0}\rangle, L_Z |\bar{1}\rangle = -|\bar{1}\rangle$$

$$L_X L_Z = -L_Z L_X \text{ 故に } L_X |\bar{0}\rangle = |\bar{1}\rangle$$

$$\alpha |\bar{0}\rangle + \beta |\bar{1}\rangle \rightarrow \alpha |\bar{0}\rangle + \beta |\bar{1}\rangle$$



$$\alpha |\bar{0}\rangle + \beta |\bar{1}\rangle$$

holographic
code.

(AdS/CFT)

Pastawski
et al '15

$$|\bar{0}\rangle = \frac{1}{4} \left(|10000\rangle + |10010\rangle + |10100\rangle + |10100\rangle \right. \\
+ |01010\rangle - |11011\rangle - |00110\rangle - |11000\rangle \\
- |11101\rangle - |00011\rangle - |11110\rangle - |01111\rangle \\
\left. - |10001\rangle - |01100\rangle - |10111\rangle + |00101\rangle \right)$$

絶対値を取ると $\sqrt{2}$ になる!!

○ 符号距離 (code distance)

$$d = \min_L \text{wt}(L)$$

logical operator

重み = 1 の 4 量子ビット

$$L_X = X^{\otimes 5}$$

$$(1111) \text{wt}(11111111)$$

$$= 2.$$

$$L_X S_1 = -Y I I Y X$$

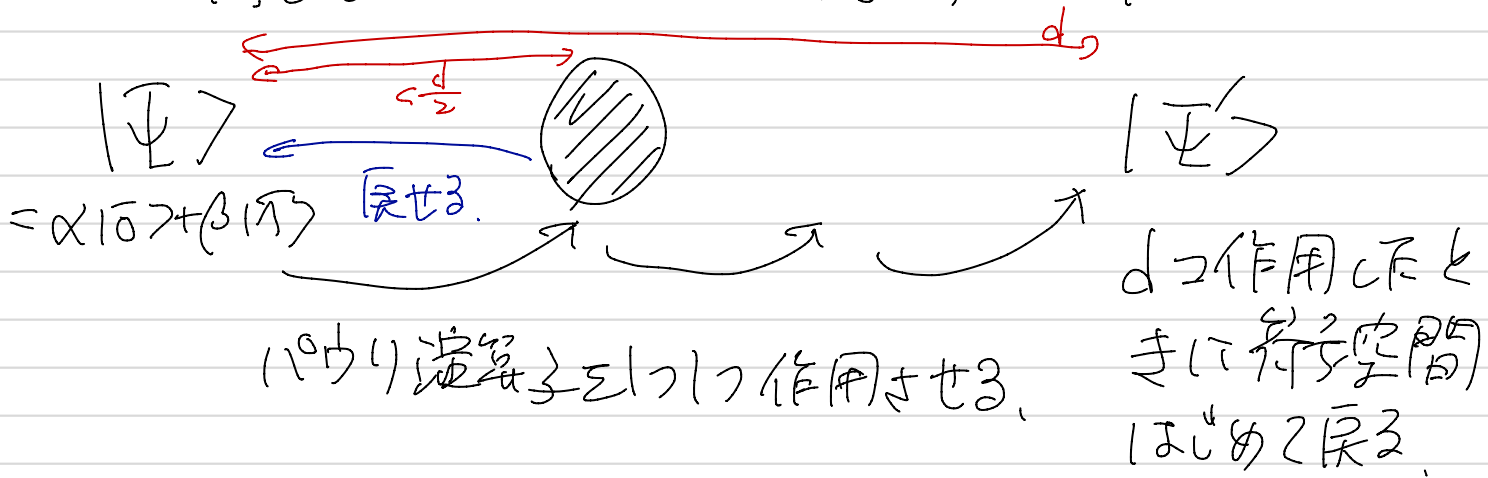
$$\text{wt}(L_X S_1) = 3,$$

\hookrightarrow = k-bit logical operator

5 qubit code の code

$$\underline{d = 3}$$

符号距離 = 符号状態間のわり



$d=3 \rightarrow$ (このように) 訂正

2^5 次元を 2^4 個の直交空間へ分割

||
16 パターンのコード

各 qubit に対応する 3 種類 (X, Y, Z) の I³-

$$3 \times 5 = 15$$

$$15 + 1 = 16$$

I³-code

I³-code の 16 パターンに対応

$S_1 \sim S_4$ の固有値を測り、訂正

$$X_3 \rightarrow (+1, +1, -1, +1)$$

$$Z_4 \rightarrow (+1, +1, -1, -1)$$

$$(Y_2, Y_3) \rightarrow (+1, +1, -1, -1)$$

確率 P が独立にパウリ I³-

\rightarrow 失敗確率は $\mathcal{O}(P^2)$

① I3- の離散化.

$$\text{量子化} \quad \Sigma(\rho) = \sum_R E_R \rho E_R^\dagger$$

(量子ビット)

パウリ演算子とは限らない.

このまじの話

$$\mathcal{R}(A | \Psi \times \Psi | A) = |\Psi \times \Psi\rangle$$

↑ ↑
A = X, Y, Z
回復操作.

$$\mathcal{R}(\rho) = \sum_R R_L \rho R_L^\dagger \text{ と書ける.}$$

$$R_L A |\Psi\rangle \propto |\Psi\rangle \quad \text{A が満たされている.}$$

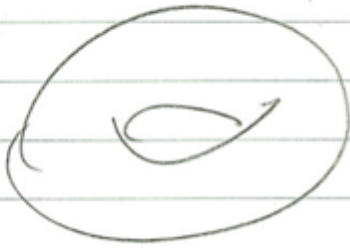
$$\textcircled{?} \mathcal{R} \circ \Sigma(\Psi \times \Psi) = ?$$

$$E_R = C_R^I I + C_R^X X + C_R^Y Y + C_R^Z Z$$

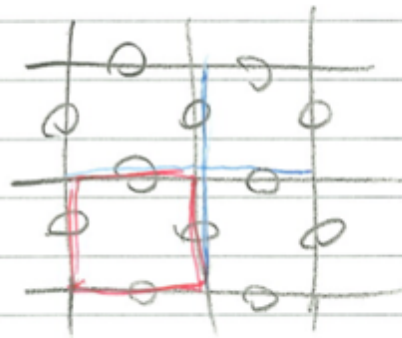
$$R_L E_R |\Psi\rangle \propto |\Psi\rangle$$

$$\mathcal{R} \circ \Sigma(\Psi \times \Psi) \stackrel{\text{線形性.}}{=} \sum_L \sum_R R_L E_R \rho E_R^\dagger R_L = |\Psi \times \Psi\rangle$$

① Kitaev's toric code.
(topological code)



$N \times N$ の正格子



3D上のgubit
の配置
 $\rightarrow 2N^2$

〇 270° 回転
plaquette

$$A_f = \prod_{i \in \partial f} Z_i$$

↑ 面境界

star.

$$B_v = \prod_{j \in \text{star}(v)} X_j$$

↑ 頂点接続

〇 符号状態

〇 $A_f |\mathbb{I}\rangle = |\mathbb{I}\rangle, B_v |\mathbb{I}\rangle = |\mathbb{I}\rangle$

〇 次元 #gubit $|E| = 2N^2$

#generator $|F| + |V| - 2 = 2N^2 - 2$

$$\dim = 2^{2N^2} / 2^{(2N^2-2)} = 2^2 = 4 \quad \prod_f A_f = \prod_v B_v = I$$

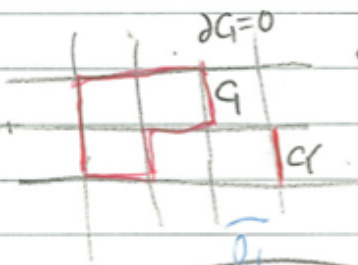
一般の平面では $|V| + |F| - |E| = 2 - 2g$

$$|E| - (|V| + |F| - 2) = 2g \quad \leftarrow \text{genus}$$

$$\dim = 2^{2g}$$

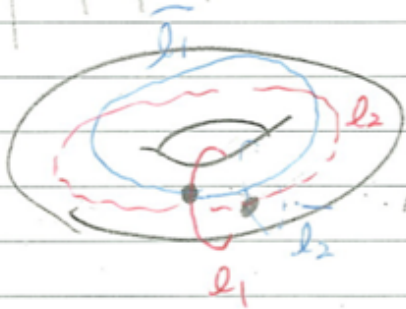
◦ logical operator

◦ Stabilizer と π 1 変換 \rightarrow cycle ∂C_1



◦ Stabilizer と π 2 変換 \rightarrow nontrivial cycle.

(trivial cycle $Z(\partial C_2) = \prod_{f \in C_2} A_f$)



$$L_1^Z = Z(l_1), L_2^Z = Z(l_2)$$

$$L_1^X = X(l_1), L_2^X = Z(l_2)$$

code distance $\rightarrow N$.

$$l_1 \sim l_1', \exists C_2 \text{ s.t. } l_1' = l_1 + \partial C_2 \sim l_1$$

$Z(l_1)$ と $Z(l_2)$ が非同値 (非同値) 。

logical operator の 作用

$$H = \text{Ker}(\partial_1) / \text{Im}(\partial_2) \quad \text{homology class.}$$

\uparrow stabilizer
 \uparrow と π 1 変換

\uparrow stabilizer group

logical operator の topology 2 変換

chain complex.

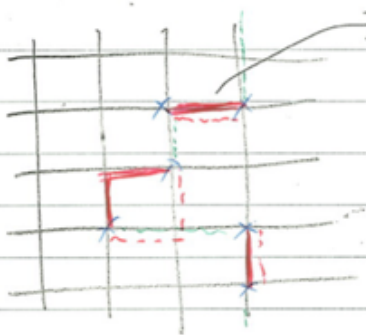
$$B_0 = \{h_i\} \quad B_1 = \{e_j\} \quad B_2 = \{f_k\}$$

$$C_0 = \int_i z_i h_i, \quad C_1 = \int_j z_j e_j, \quad C_2 = \int_k z_k f_k$$

boundary map (準同型) $\partial_i: C_i \rightarrow C_{i-1}$ s.t. $\partial \circ \partial = 0$.

$$h_i = \text{Ker}(\partial_i) / \text{Im}(\partial_{i+1})$$

◦エラー検出と訂正.



error chain C^e , Z error $Z(C^e)$

→ 端点上の star operator と反交換

$$u \in \partial C^e \rightarrow B_u \text{ の固有値 } (-1)$$

∂C^e から C^e を推定.

$$\text{シフト} \rightarrow \arg \max_{C^e} \text{Prob}(Z(C^e)) \Big|_{\partial C^e = \partial C^e}$$



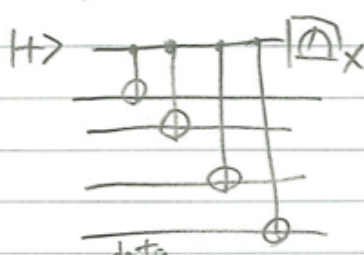
OK



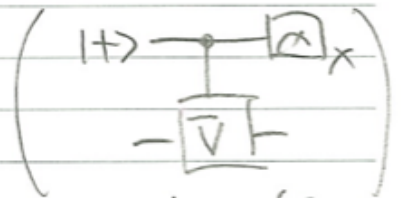
logical error.

→ 独立なエラーの場合, 最有利な端点を
minimum-weight-perfect-matching

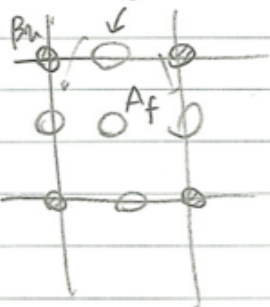
A_f と B_u の測定.



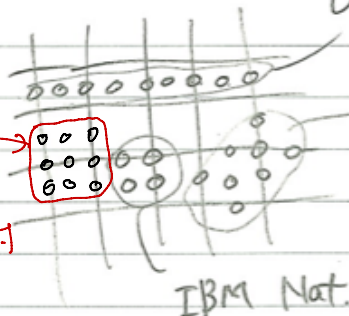
B_u の測定
(A_f の同時)



Martin's Nature '15.
UCSB,



4-qubit



IBM?
(arXiv:1510.04375)

IBM Nat. Comm '15

"quantum computer guess"

Nature 516, 24-26
(2014)